

Módulo de Teoría

23-02-2023

Anamaría Font V.

Universidad Central de Venezuela

LA-CoNGA-physics

mattermost.redclara.net@afont



Latin American alliance for
Capacity building in Advanced physics
LA-CoNGA physics



Cofinanciado por el
programa Erasmus+
de la Unión Europea

UAN
UNIVERSIDAD NACIONAL



UNIVERSIDAD
NACIONAL DE
INGENIERÍA

UNMSM



Université
de Paris

TECHNISCHE
UNIVERSITÄT
DRESDEN



CLARA

DBACCESS

frontier x
ANALYTICS

Recap

$$* \phi(t, \vec{x}) = e^{iHt} \phi(\vec{x}) e^{-iHt} = U^\dagger(t, 0) \phi_I(t, \vec{x}) U(t, 0), \quad H = H_0 + H_I$$

$$\phi_I(t, \vec{x}) = e^{iH_0 t} \phi(\vec{x}) e^{-iH_0 t} = \int \frac{d^3 p}{(2\pi)^3} \frac{1}{\sqrt{2E_{\vec{p}}}} \left(a_{\vec{p}} e^{-ip \cdot x} + a_{\vec{p}}^\dagger e^{ip \cdot x} \right)$$

$$* U(t, t') = e^{iH_0 t} e^{-iH(t-t')} e^{-iH_0 t'} = T \left\{ \exp \left[-i \int_{t'}^t dt'' H_I(t'') \right] \right\}$$

$$* \text{funciones de correlación: } G^{(n)}(x_1, \dots, x_n) = \langle \Omega | T \{ \phi(x_1) \phi(x_2) \cdots \phi(x_n) \} | \Omega \rangle$$

$|\Omega\rangle$: estado de mínima energía de $H = H_0 + H_I$

$$G^{(n)}(x_1, \dots, x_n) = \lim_{t' \rightarrow \infty(1-i\epsilon)} \frac{\langle 0 | T \left\{ \phi_I(x_1) \phi_I(x_2) \cdots \phi_I(x_n) \exp \left[-i \int_{-t'}^{t'} dt H_I(t) \right] \right\} | 0 \rangle}{\langle 0 | T \left\{ \exp \left[-i \int_{-t'}^{t'} dt H_I(t) \right] \right\} | 0 \rangle}$$

Expansión perturbativa de funciones de correlación

En el numerador de $\langle \Omega | T \{ \phi(x_1) \phi(x_2) \cdots \phi(x_n) \} | \Omega \rangle$ aparece

$$\langle 0 | T \left\{ \phi_I(x_1) \phi_I(x_2) \cdots \phi_I(x_n) \exp \left[-i \int_{-\infty}^{\infty} dt H_I(t) \right] \right\} | 0 \rangle$$

$$\text{En } \lambda \phi^4, \quad H_I(t) = \int d^3 z \frac{\lambda}{4!} \phi_I^4(t, \vec{z}) \Rightarrow \int_{-\infty}^{\infty} dt H_I(t) = \int d^4 z \frac{\lambda}{4!} \phi_I^4(z)$$

$$\exp \left[-i \int_{-\infty}^{\infty} dt H_I(t) \right] = 1 - i \underbrace{\int d^4 z \frac{\lambda}{4!} \phi_I^4(z)}_{\text{orden } \lambda} + \frac{(-i)^2}{2} \underbrace{\int d^4 z \frac{\lambda}{4!} \phi_I^4(z) \int d^4 w \frac{\lambda}{4!} \phi_I^4(w)}_{\text{orden } \lambda^2} + \cdots$$

Es necesario calcular

$$\langle 0 | T \{ \phi_I(x_1) \phi_I(x_2) \cdots \phi_I(x_n) \phi_I^4(z) \phi_I^4(w) \cdots \} | 0 \rangle$$


Se hace aplicando teorema de Wick \rightarrow diagramas y reglas de Feynman


Propagador de Feynman

$$D_F(x - y) = \langle 0 | T \{ \phi_I(x) \phi_I(y) \} | 0 \rangle$$


$$D_F(x - y) = \int \frac{d^4 p}{(2\pi)^4} \frac{i}{p^2 - m^2 + i\epsilon} e^{-ip \cdot (x - y)}$$

Ejemplo, $n = 2$ a orden λ

$$\langle 0|T \left\{ \phi_I(x_1)\phi_I(x_2) \left(\frac{-i\lambda}{4!} \right) \int d^4z \phi_I^4(z) \right\} |0\rangle =$$




$$= \left(\frac{-i\lambda}{2} \right) \int d^4z D_F(x_1 - z) D_F(z - z) D_F(x_2 - z)$$



$$= \left(\frac{-i\lambda}{8} \right) \int d^4z D_F(x_1 - x_2) D_F(z - z) D_F(z - z)$$

notar que el integrando no depende de $z \Rightarrow \int d^4z \rightarrow \infty$

$\int d^4z \rightarrow \infty$ corresponde a $\delta^4(0)$ en espacio de momentos



$$\sim (2\pi)^4 \delta^4(p_1 + p_2 - p_1 - p_2) = (2\pi)^4 \delta^4(0) = \int d^4z$$

ocurre siempre que en el diagrama hay una *burbuja de vacío*

(subdiagrama desconectado de todos los puntos externos)

Funciones de correlación y diagramas conexos

$$\langle 0|T \left\{ \phi_I(x_1)\phi_I(x_2) \exp \left[\frac{-i\lambda}{4!} \int d^4z \phi_I^4(z) \right] \right\} |0\rangle =$$

$$\underbrace{\text{---}}_{\text{orden } \lambda^0} + \left[\underbrace{\text{---}}_{\text{orden } \lambda^1} \text{ } \text{ } \text{ } + \underbrace{\text{---}}_{\text{orden } \lambda^2} \text{ } \text{ } \right] + \left[\underbrace{\text{---}}_{\text{orden } \lambda^2} \text{ } \text{ } \text{ } + \underbrace{\text{---}}_{\text{orden } \lambda^2} \text{ } \text{ } \text{ } + \underbrace{\text{---}}_{\text{orden } \lambda^2} \text{ } \text{ } \text{ } + \dots \right] + \dots$$

Incluye diagramas disconexos (con diagramas desconectados de x_1 y x_2), e.g.

$$\text{---} \text{ } \text{ } \text{ } , \quad \text{---} \text{ } \text{ } \text{ } , \quad \text{etc}$$

Hay burbujas de vacío proporcionales a $(2\pi)^4 \delta^4(0) = \int d^4z$

Estas burbujas también aparecen en el denominador de


$$\langle \Omega|T\{\phi(x_1)\phi(x_2)\}|\Omega\rangle = \lim_{t' \rightarrow \infty(1-i\epsilon)} \frac{\langle 0|T\left\{ \phi_I(x_1)\phi_I(x_2) \exp \left[-i \int_{-t'}^{t'} dt H_I(t) \right] \right\} |0\rangle}{\langle 0|T\left\{ \exp \left[-i \int_{-t'}^{t'} dt H_I(t) \right] \right\} |0\rangle}$$

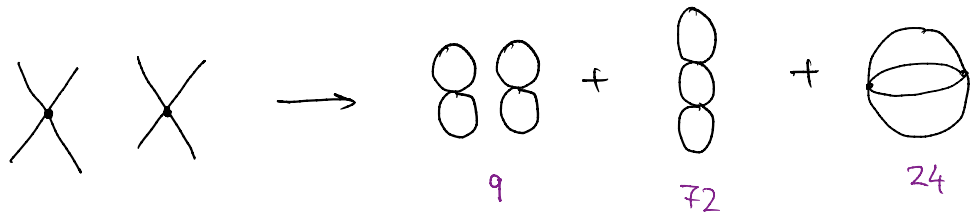
$$\text{En } \lambda\phi^4, \quad H_I(t) = \int d^3z \frac{\lambda}{4!} \phi_I^4(t, \vec{z}) \Rightarrow \int_{-\infty}^{\infty} dt H_I(t) = \int d^4z \frac{\lambda}{4!} \phi_I^4(z)$$

$$\langle 0|T \left\{ \exp \left[-i \int_{-\infty}^{\infty} dt H_I(t) \right] \right\} |0\rangle$$

$$= \langle 0| \left[1 - \frac{i\lambda}{4!} \int d^4z \phi_I^4(z) + \frac{1}{2} \left(\frac{-i\lambda}{4!} \right)^2 \int d^4z \int d^4w T \{ \phi_I^4(z) \phi_I^4(w) \} + \dots \right] |0\rangle$$

se calcula orden por orden usando el teorema de Wick

λ : un vértice 

λ^2 : dos vértices 

$$\text{En } \frac{\langle 0|T \left\{ \phi_I(x_1)\phi_I(x_2) \exp \left[-i \int_{-\infty}^{\infty} dt H_I(t) \right] \right\} |0\rangle}{\langle 0|T \left\{ \exp \left[-i \int_{-\infty}^{\infty} dt H_I(t) \right] \right\} |0\rangle}$$

se cancelan las burbujas

“demostración”:

$$\frac{(\text{---} + \text{---} \circ + \text{---} \circ \circ + \dots)}{(1 + \circ + \dots)}$$

$$\frac{1}{1+r} = 1 - r + \dots, \quad \text{si } r \ll 1$$

$$= (\text{---} + \text{---} \circ + \text{---} \circ \circ + \dots) (1 - \circ + \dots)$$

$$= \text{---} + \text{---} \circ + \text{---} \circ \circ - \text{---} \circ \circ + \dots$$

Se demuestra:

$$\langle 0|T \left\{ \exp \left[\frac{-i\lambda}{4!} \int d^4z \phi^4(z) \right] \right\} |0\rangle = \left(1 + \text{bubble} + \text{chain of 2 bubbles} + \text{chain of 3 bubbles} + \dots \right)$$

$$= \exp \left(\text{bubble} + \text{chain of 2 bubbles} + \text{chain of 3 bubbles} + \dots \right)$$

$$\langle 0|T \left\{ \phi_I(x_1) \phi_I(x_2) \exp \left[\frac{-i\lambda}{4!} \int d^4z \phi^4(z) \right] \right\} |0\rangle$$

$$= \left(\text{line} + \text{line with bubble} + \text{line with chain of 2 bubbles} + \text{line with chain of 3 bubbles} + \dots \right) \underbrace{\left(1 + \text{bubble} + \text{chain of 2 bubbles} + \text{chain of 3 bubbles} + \dots \right)}_{\exp \left(\text{bubble} + \text{chain of 2 bubbles} + \text{chain of 3 bubbles} + \dots \right)}$$

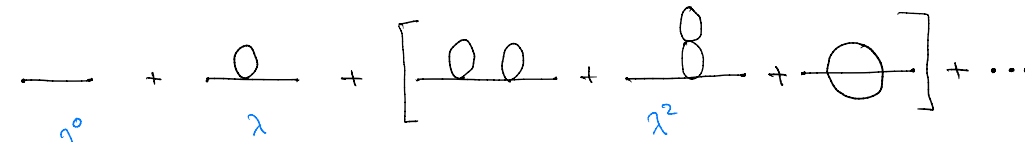
→ exp[burbujas] se cancela en el cociente

En resumen:

* funciones de correlación: $\langle \Omega | T \{ \phi(x_1) \phi(x_2) \cdots \phi(x_n) \} | \Omega \rangle = G^{(n)}(x_1, \dots, x_n)$

$$G^{(n)}(x_1, \dots, x_n) = \lim_{t' \rightarrow \infty(1-i\epsilon)} \frac{\langle 0 | T \left\{ \phi_I(x_1) \phi_I(x_2) \cdots \phi_I(x_n) \exp \left[-i \int_{-t'}^{t'} dt H_I(t) \right] \right\} | 0 \rangle}{\langle 0 | T \left\{ \exp \left[-i \int_{-t'}^{t'} dt H_I(t) \right] \right\} | 0 \rangle}$$

* $\langle \Omega | T \{ \phi(x_1) \phi(x_2) \cdots \phi(x_n) \} | \Omega \rangle =$ suma de todos los diagramas conectados con n puntos

* E.g. $\langle \Omega | T \{ \phi(x_1) \phi(x_2) \} | \Omega \rangle =$  $+ \dots$

tarea 3



<http://laconga.redclara.net>



contacto@laconga.redclara.net



lacongapysics



Latin American alliance for
Capacity building in Advanced physics

LA-CoNGA physics



Cofinanciado por el
programa Erasmus+
de la Unión Europea

El apoyo de la Comisión Europea para la producción de esta publicación no constituye una aprobación del contenido, el cual refleja únicamente las opiniones de los autores, y la Comisión no se hace responsable del uso que pueda hacerse de la información contenida en la misma.